

SAR画像ピクセルの緯度経度変換とオルソ変換について

島田政信

宇宙航空研究開発機構

地球観測研究センター

平成22年4月20日

日本リモートセンシング学会、評価・標準化研究会

M.S. リモセン標準化部会

1

内容

SARの歴史

SAR映像化の基本

ドップラー周波数と地上交点

アジマスシフト

厳密解法、近似解法

試験

オルソ補正画像

結論

M.S. リモセン標準化部会

2

1. SAR system description

M.S. リモセン標準化部会

3

SAR imaging (I)

History

1950s : Airborne SAR was developed in USA.

1978, Seasat : L-SAR, digital.

1980s, 1990s : USA, EC, Japan, Russia launched SARs

2000s: ENVISAT, ALOS were launched, and RADARSAT-2, TERRA-SARX, etc,,,

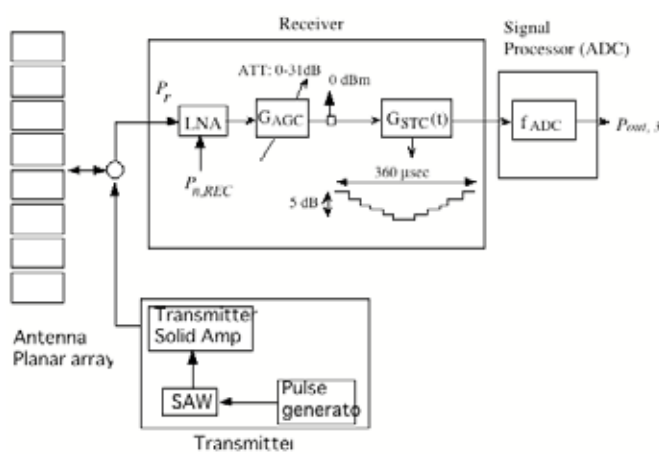
Feature (Advantages)

- High resolution Imaging by a two dimensional correlation (several meter)
- Detection of amplitude and phase
- Operable in night/day, weather conditions

• Disadvantages

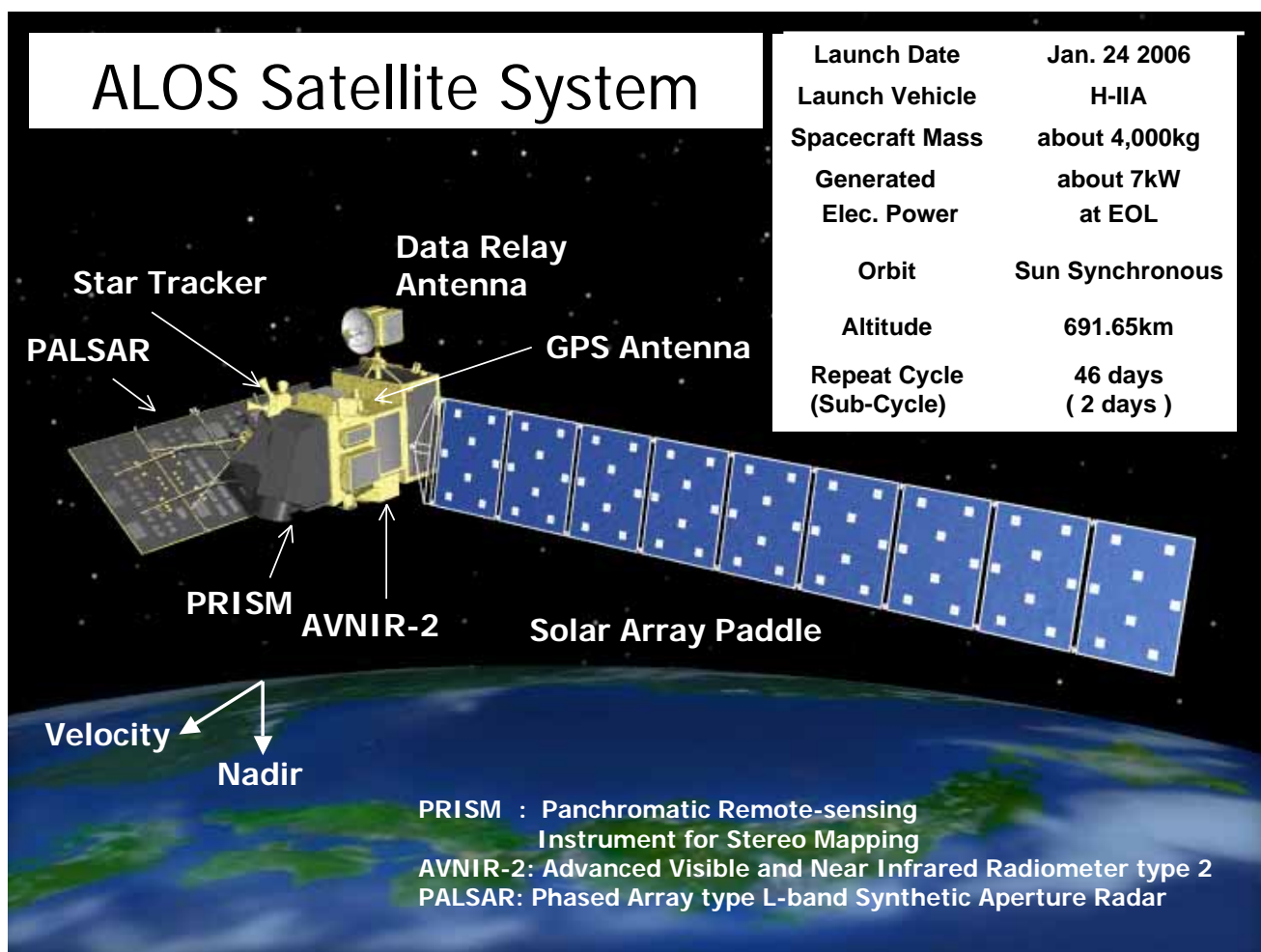
- Speckle noise
- Foreshortening, layover, shadowing
- Interference from the ground radar
- Saturation, AGC/STC, antenna pattern error

JERS-1 SAR



SAR model

JERS-1 SAR artistic view



2. SAR imaging

STRIP mode

Signal reception by a radar

RADAR:

Radio Detection and Ranging

transmit

$$f_t = \exp\{2\pi j f_0 t\}$$

receive

$$f_r = \exp\left\{2\pi j f_0 \left(t - \frac{2R}{c}\right)\right\}$$

Intermediate

$$f_r \cdot f_t^* = \exp\left\{2\pi j f_0 \left(\frac{-2R}{c}\right)\right\}$$

Importance : R is remained.

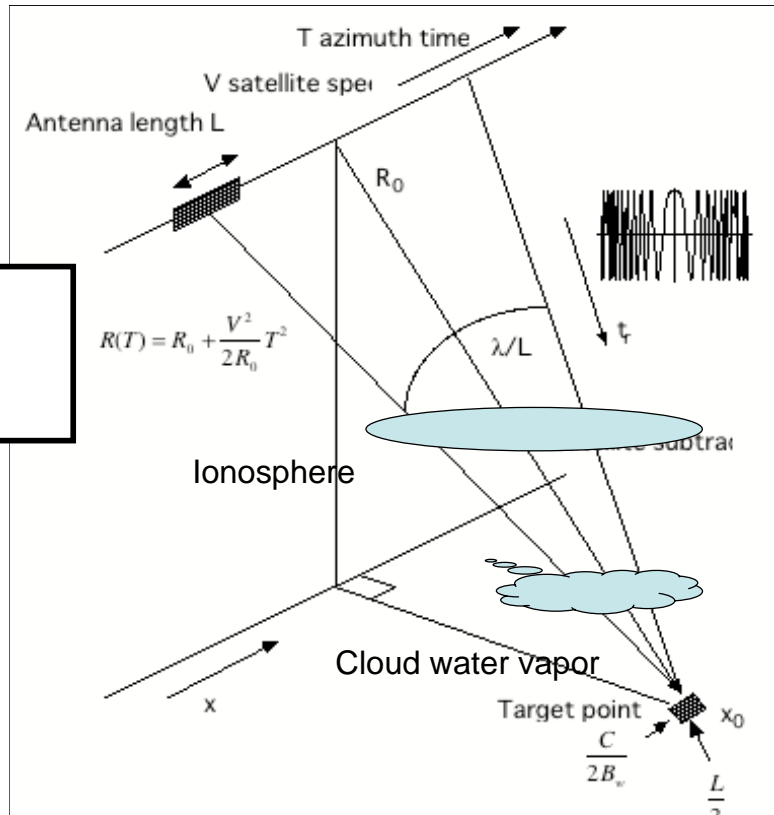
Chirp signal case

$$f_r \cdot f_t^* = \exp\left\{2\pi j f_0 \left(\frac{-2R}{c}\right) + 2\pi j \frac{k}{2} \left(t - \frac{2R}{c}\right)^2\right\}$$

SAR imaging

High resolution imaging
range :FM modulation
Azimuth:Doppler modulation

	Bw	L
JERS-1	15M	12m
PALSAR	28M	9m
PALSAR	14M	9m
Pi-SAR	50M	1.6m



$$S_{ra}(R, x) = A(R, x) \sin c\left(\frac{2\pi B_w (R - R_0)}{C}\right) \sin c\left(2\pi\left(\frac{x - x_0}{L}\right)\right) \exp\left(-\frac{4\pi R_0}{\lambda} j\right)$$

Correlation

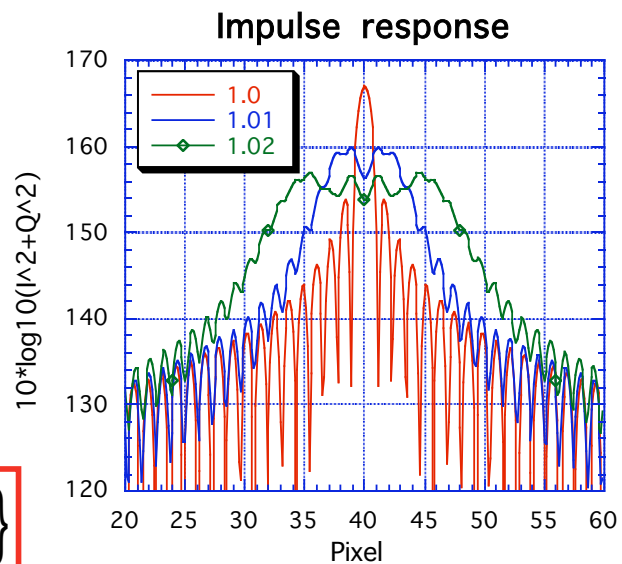
Formulation

$$g(t') = \int_{-\tau/2}^{\tau/2} f(t) f^*(t + t') dt$$

Transmitted wave

$$f(t) = \Pi\left(\frac{t - t_0}{\tau/2}\right) \exp\left\{\pi\kappa(t - t_0)^2\right\}$$

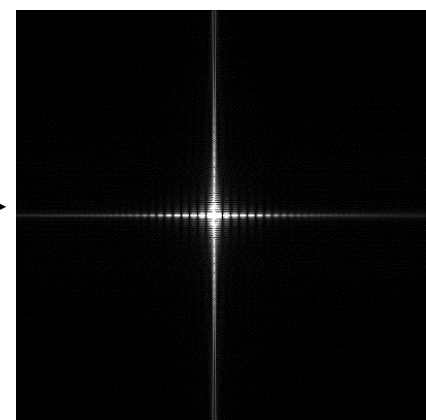
Response due to mismatching



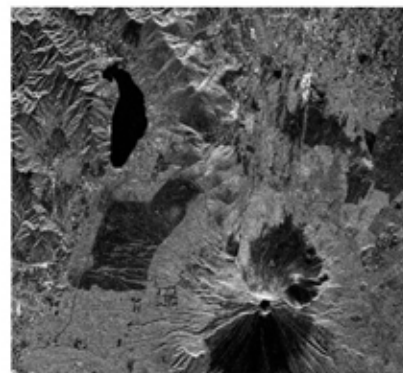
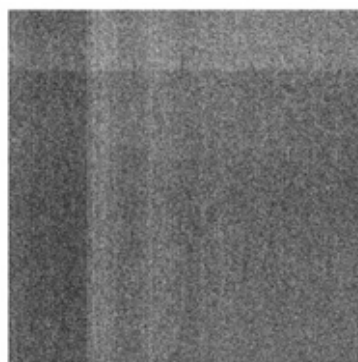
1 D response

2 X 1 D correlation processing

Simulated
data



Actual
data

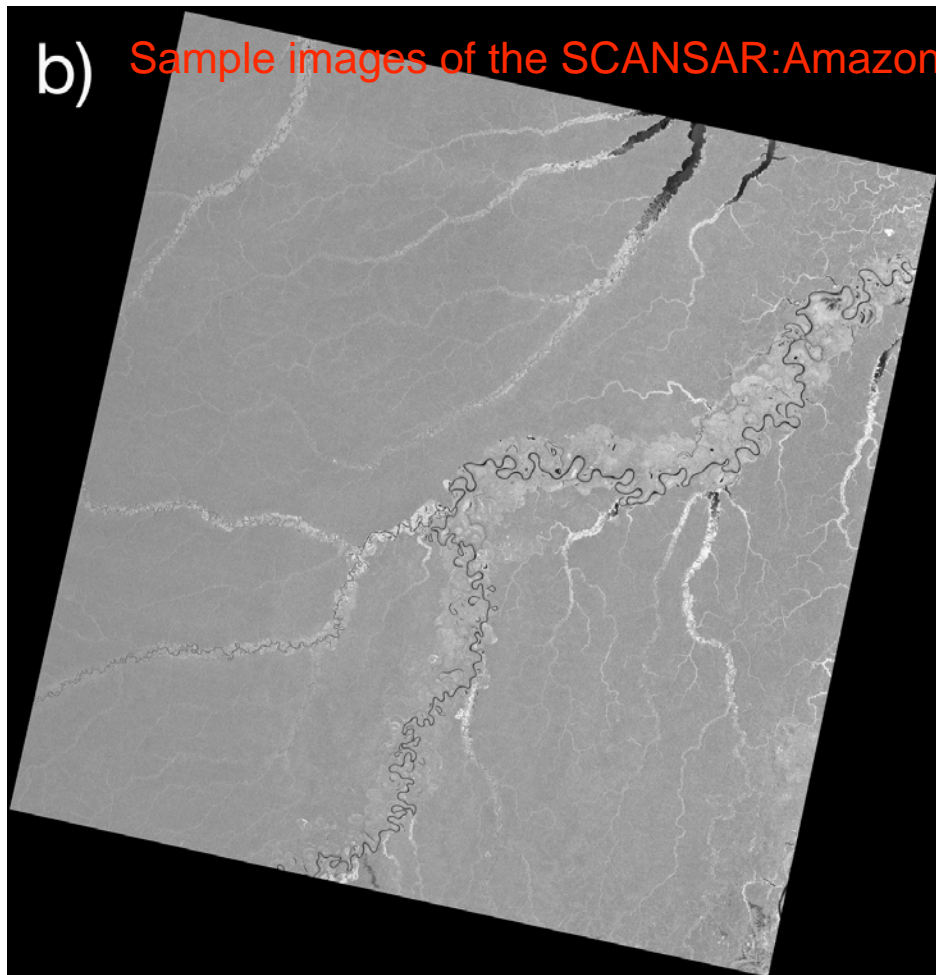


raw data

processed

SIGMA-SAR

b) Sample images of the SCANSAR:Amazon



3. SAR映像化に置ける焦点位置と地表の関係

3.1 投影面を回転楕円体表面とした場合(標準成果物)

3.2 地表面をDEMで表現し、正射投影した場合(オルソ変換)

ドップラー周波数

$$f_d = \frac{2}{\lambda} (\mathbf{u}_s - \boldsymbol{\omega} \times \mathbf{r}_p) \frac{(\mathbf{r}_p - \mathbf{r}_s)}{|\mathbf{r}_p - \mathbf{r}_s|}$$

\mathbf{u}_s : 衛星速度ベクトル@慣性座標、

$\boldsymbol{\omega}$: 地球自転角速度ベクトル、

\mathbf{r}_p : 観測対象点の位置ベクトル、

\mathbf{r}_s : 衛星位置ベクトル、

λ : レーダ波長である。

\mathbf{r}_p はヨー角度の関数でもある。観測対象物の位置ベクトルはGRS80楕円体上の測地緯度経度 (ϕ, λ) と楕円体高 (h) で表現される。

衛星

ERS-1/2

JERS-1

radarsat

ENVISAT

ALOS

SIR-C

radarsat2

ドップラー周波数

ゼロ

非ゼロ

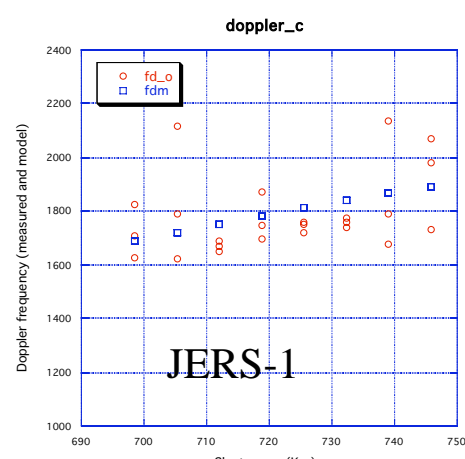
ゼロ

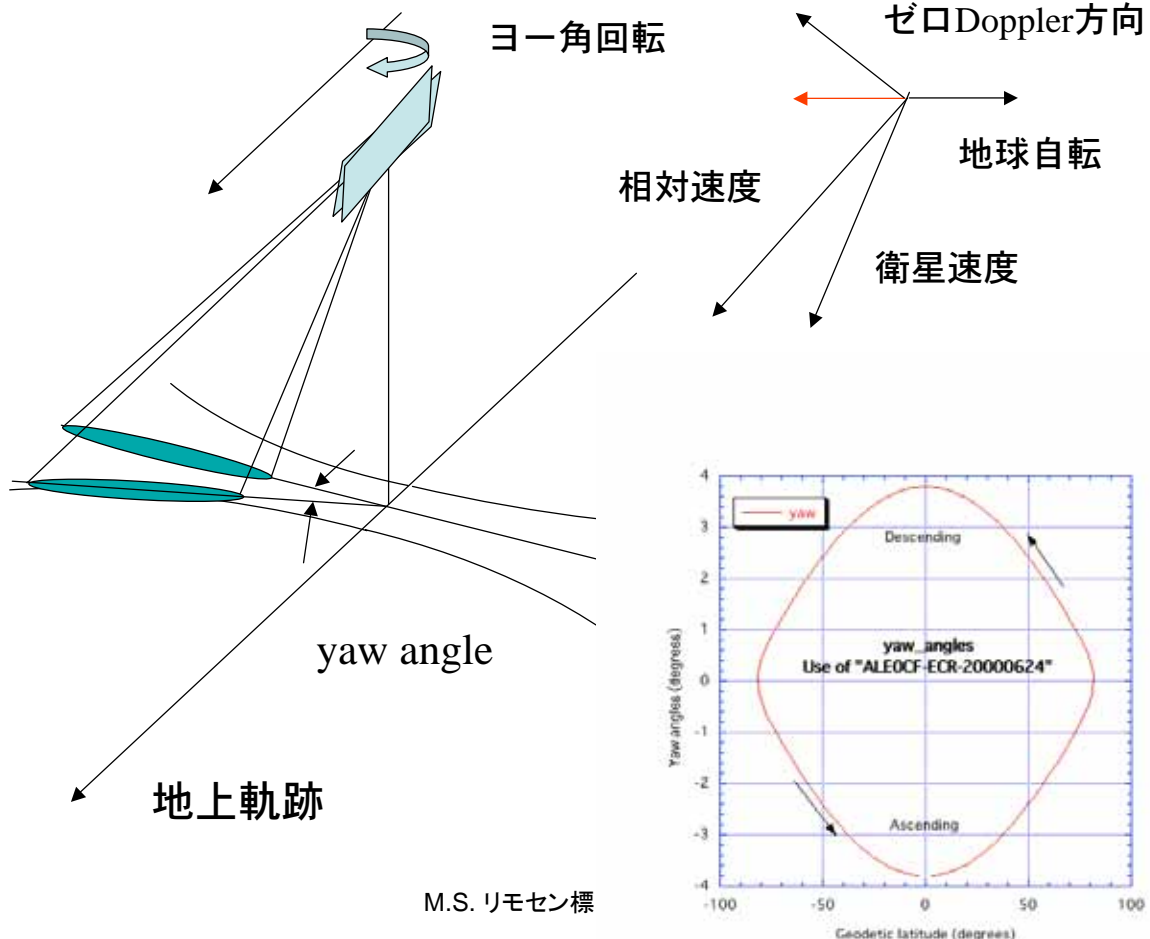
ゼロ

ゼロ

ゼロ

ゼロ





地上点の計算

$$f_{d1} = \frac{2}{\lambda} \left(\mathbf{u}_s - \boldsymbol{\omega} \times \mathbf{r}_p \right) \frac{(\mathbf{r}_p' - \mathbf{r}_s)}{|\mathbf{r}_p' - \mathbf{r}_s|}$$

$$r = |\mathbf{r}_p' - \mathbf{r}_s|$$

$$\frac{x_p^2}{R_a^2} + \frac{y_p^2}{R_a^2} + \frac{z_p^2}{R_b^2} = 1$$

$$r = \frac{c}{2} \left(n \cdot f_{prf} + \Delta t_{off} + \frac{i}{f_{sample}} \right)$$

$$d = -\frac{\Delta f}{f_{dd}} v_g$$

仮定

- 対象点はGRS80標準円体上に存在
- SAR映像化処理に使用したドップラー周波数に合致

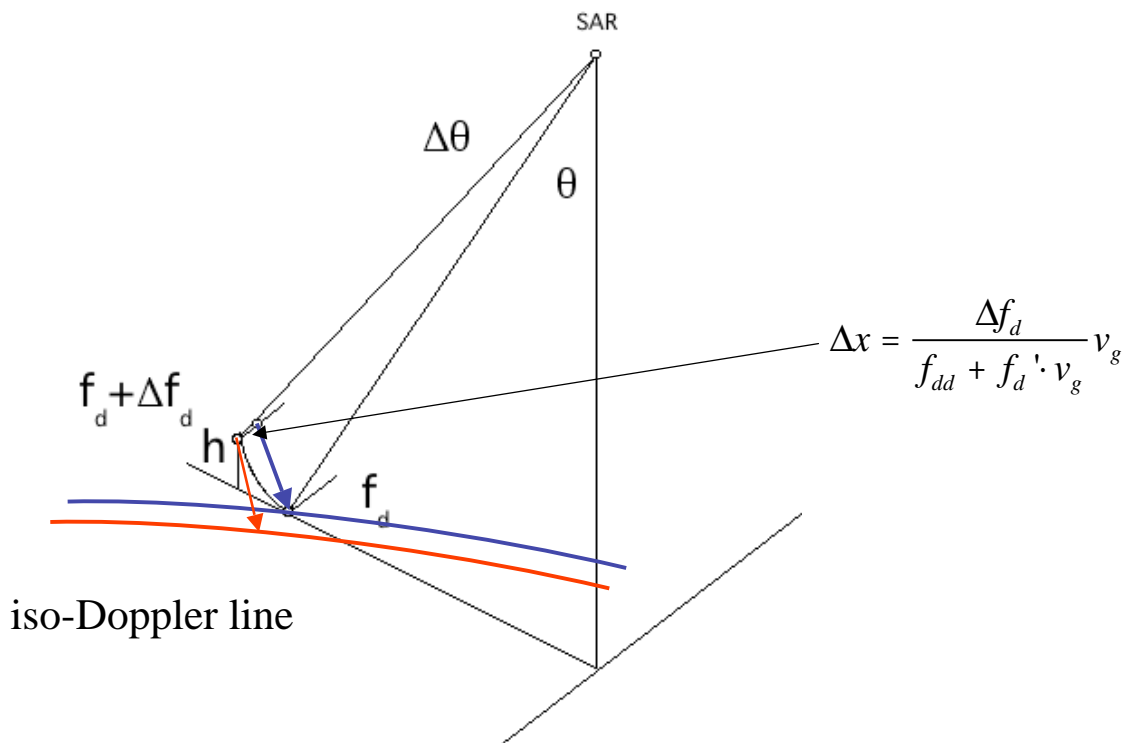
• 既知のスラントレンジ

→ 収束演算

問題点：高さが非ゼロの場合、上記方法で算出された点が実際の点とは異なる。

レンジ方向倒れ込み

アジマスシフトについて



M.S. リモセン標準化部会

17

厳密解法

$$f_{d1} = \frac{2}{\lambda} (\mathbf{u}_s - \boldsymbol{\omega} \times \mathbf{r}_p) \frac{(\mathbf{r}_p - \mathbf{r}_s)}{|\mathbf{r}_p - \mathbf{r}_s|}$$

収束演算

$$r = |\mathbf{r}_p - \mathbf{r}_s|$$

$$\frac{x_p^2}{R_a^2} + \frac{y_p^2}{R_a^2} + \frac{z_p^2}{R_b^2} = 1$$

$$R_a = \bar{R}_a + \{h(\varphi, \lambda) + h_{geoid}(\varphi, \lambda)\} \sqrt{1 - e^2 \sin^2 \varphi}$$

$$R_b = R_a \sqrt{1 - e^2 \sin^2 \varphi}$$

$$e^2 = \frac{R_a^2 - R_b^2}{R_a^2}$$

h : 標高

h_{geoid} : ジオイド

M.S. リモセン標準化部会

18

近似解法 アジマス方向変化 (dx) は微小量解析

$$f_{d1} = \frac{2}{\lambda} (\mathbf{u}_s - \boldsymbol{\omega} \times \mathbf{r}_p) \frac{(\mathbf{r}_p - \mathbf{r}_s)}{|\mathbf{r}_p - \mathbf{r}_s|}$$

$$= f_d + \frac{d}{dx} f_d \cdot dx + f_{dd} \frac{dx}{v_g}$$

$$\Delta f_d = f_{d1} - f_d$$

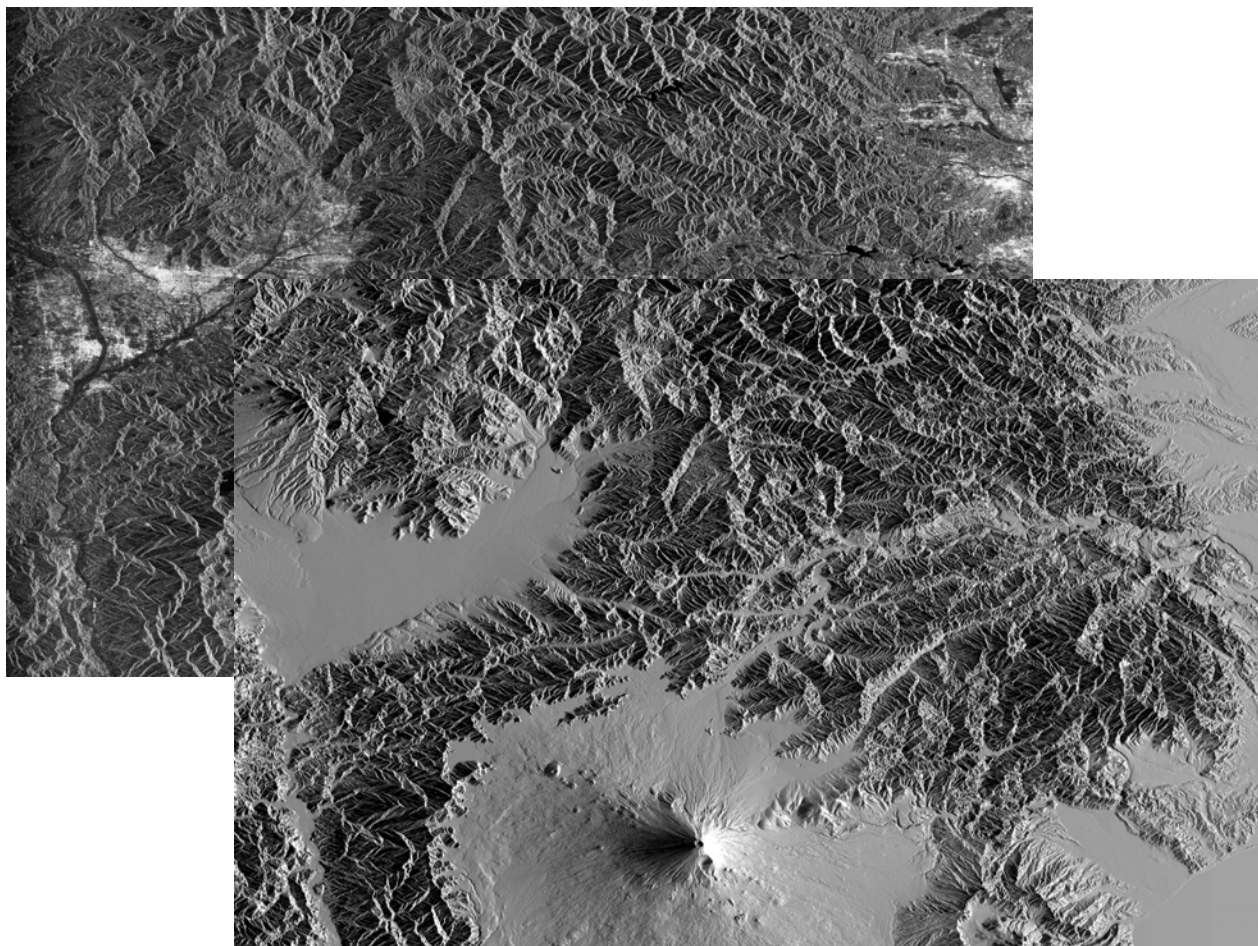
分母は f_{dd} で近似可能
(0.4% 誤差)

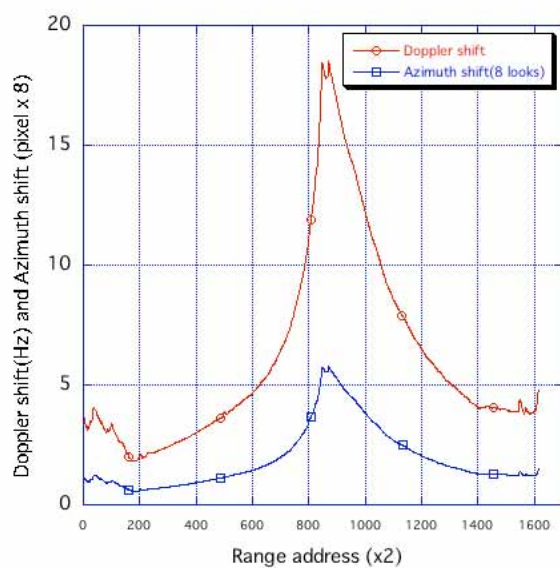
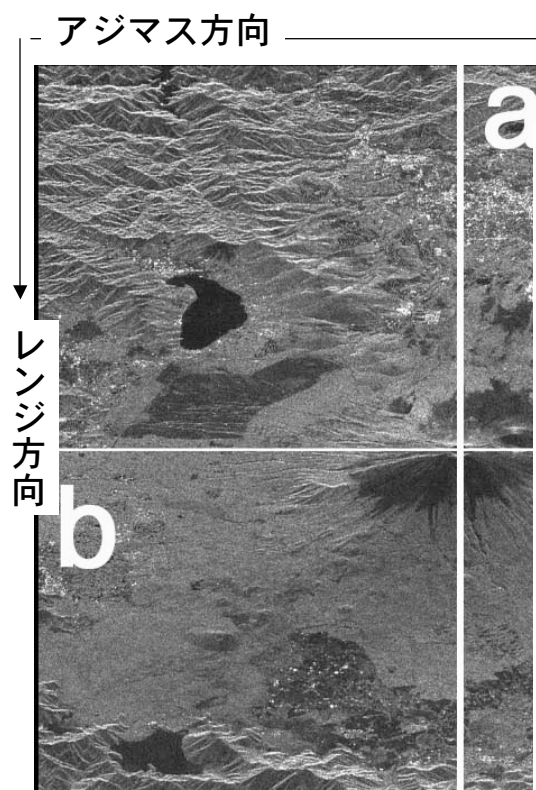
$$= f_d' \cdot dx + f_{dd} \frac{dx}{v_g}$$

$$dx = \frac{\Delta f_d}{f_{dd} + f_d' \cdot v_g}$$

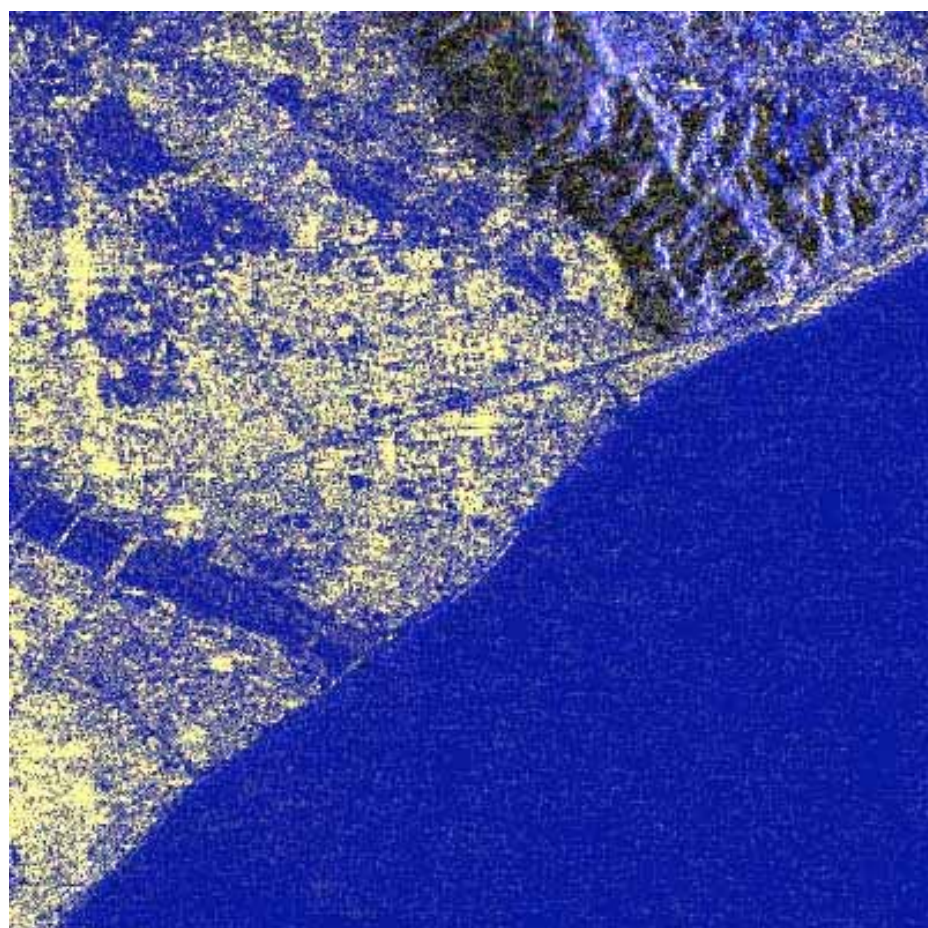
$f_{dd} = -650$ | 0.4% 誤差

$$\begin{aligned} f_d' \cdot v_g &= \frac{\partial f_d}{\partial h} \cdot \frac{\partial h}{\partial x} \cdot v_g \\ &= \frac{18}{4000} \frac{10}{100} 6500 = 3 \end{aligned}$$





富士山頂で約6ピクセル（8ルック） アジマスシフト（200m）
18Hzドップラーシフト

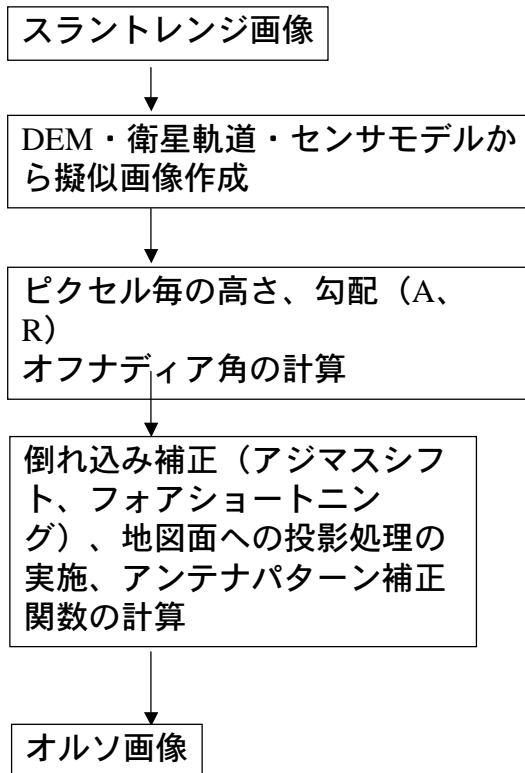


R : 補正済み
G : 補正前
B : DEM画像

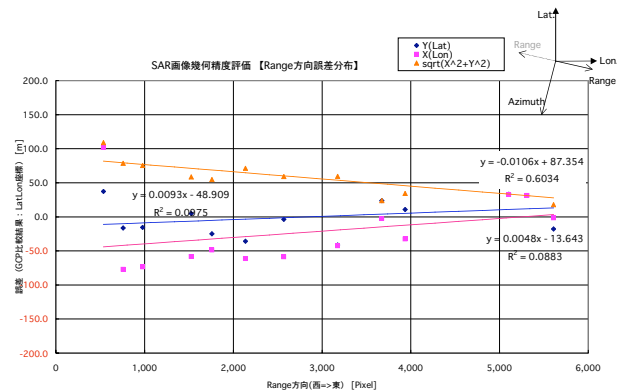
山頂
R-Gは一致
Gはずれる

海岸線
R-G-Bとともに
一致

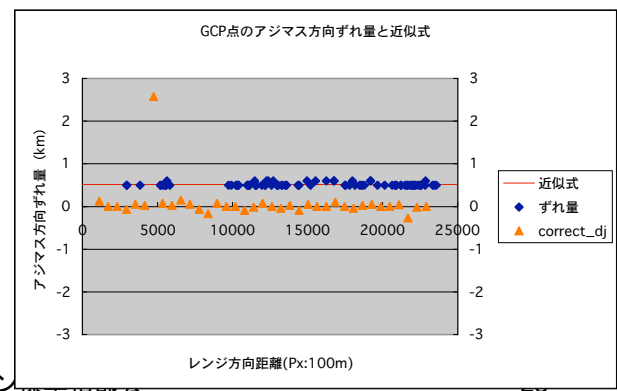
地形補正のルーチン



スラントレンジ画像の幾何精度

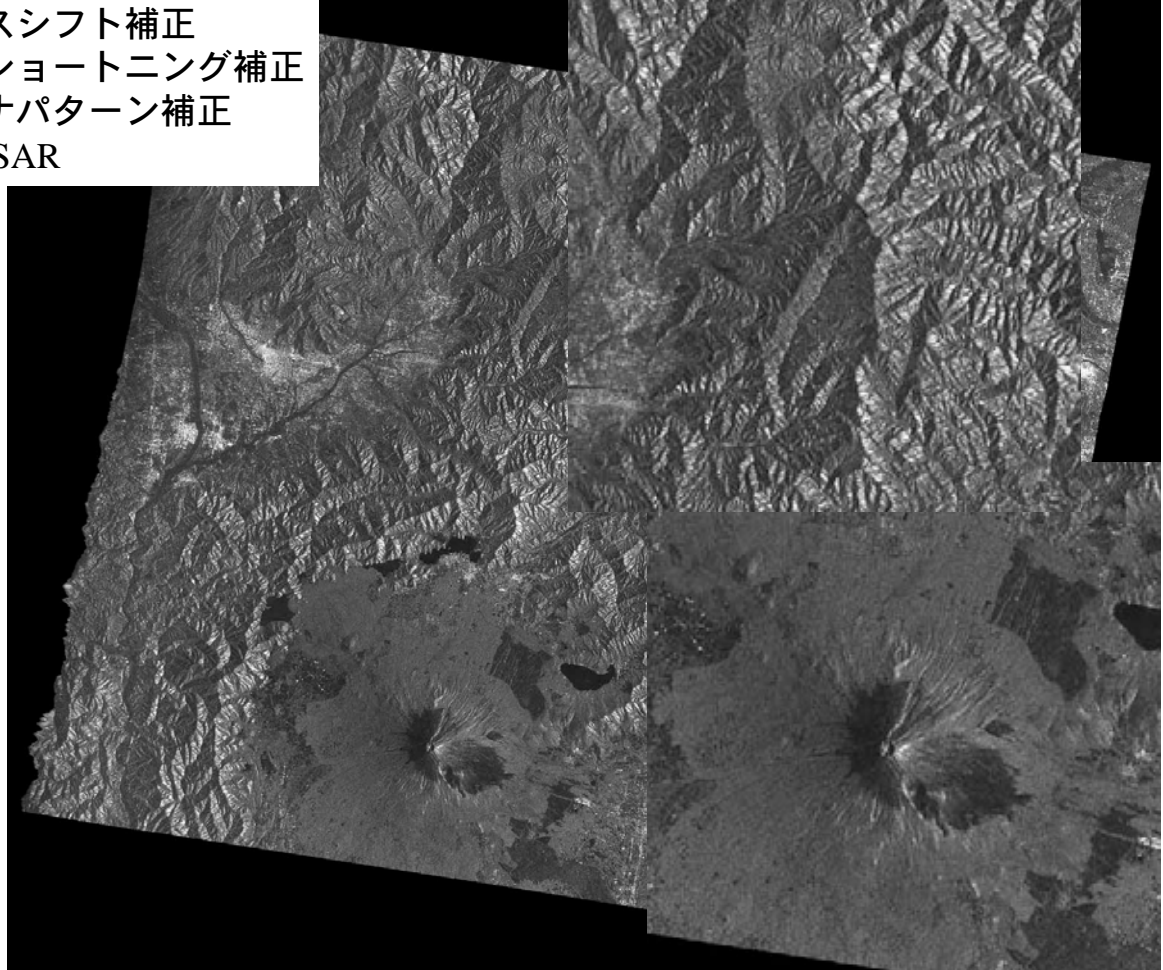


1) 一パス(シーン)内のレンジ依存性



2) モザイク画像内のレンジ依存性

アジャマスシフト補正
フォアショートニング補正
アンテナパターン補正
JERS-1 SAR



精度目標 (PALSAR)

Products	Accuracy Goal	Validation method
Standard Products 1.0 1.1 1.5	Geometry 100 m Radiometry 1.5 dB (abs.) 1.0 dB (relative) 5° (phase)	CR, ARC's location Validation CR, ARC Amazon
High level Ortho rectified DEM	geometry 50 m (horizon) Radiometry 30 m (vertical) 1.5 dB(ext. layover)	CR,ARC's location GCP,DEM Validation CR,ARC
Research Product Deformation Forest map Soil moisture Snow map Biomass Sea Ice	Geometry 100 m Radiometry 1.5 dB 5mm	Landsat images Amazon images GPS's positions

まとめ

ヨー角制御しないSAR衛星（JERS-1）の画像はアジマス移動する。

その移動量は観測点の高さに依存する。

アジマス移動量補正の方法として、近似方法を提案した。

近似方法では、ゼロドップラーとして求めた対象点のドップラー、その変化率等をDEM、衛星軌道データから求める。

JERS-1の場合、富士山山頂が約200mアジマス方向移動し、その補正が必要となる。

ここで効率的なアジマス移動補正方法を提案した。

また、ALOSの軌道情報を用いた幾何精度推定を行い、JERS-1に比べ十分に高い幾何精度が見込めるることを確認した。

画像の種類と画像の見え方

- 1)スラントレンジ
- 2)グランドレンジ
- 3)ジオコード画像
- 4)オルソ画像
- 5)勾配補正画像

緯度・経度とライン・ピクセルの変換方法

PALSAR画像の緯度経度の計算方法(対応画像、スラントレンジ、グランドレンジ、ジオリファレンス、ジオコード)

$$lat = \sum_{i=0}^4 \sum_{j=0}^4 a_{i,j} (line - line_c)^{4-j} (pixel - pixel_c)^{4-i} + lat_c$$

$$lon = \sum_{i=0}^4 \sum_{j=0}^4 b_{i,j} (line - line_c)^{4-j} (pixel - pixel_c)^{4-i} + lon_c$$

$$pixel = \sum_{i=0}^4 \sum_{j=0}^4 c_{i,j} (lon - lon_c)^{4-j} (lat - lat_c)^{4-i} + pixel_c$$

$$line = \sum_{i=0}^4 \sum_{j=0}^4 d_{i,j} (lon - lon_c)^{4-j} (lat - lat_c)^{4-i} + line_c$$

$$a_{i,j} = factor_m[is1 + j + i \cdot 5]$$

$$b_{j,i} = factor_m[is2 + j + i \cdot 5]$$

$$c_{j,i} = factor_m[is3 + j + i \cdot 5]$$

$$d_{j,i} = factor_m[is4 + j + i \cdot 5]$$

29

設備関連データレコード11 (5 / 6)

バイトNo.	タイプ	内 容 (定義及び具体的数値)	備 考
1025-2024	E20.10	<p>ピクセル(P)・ライン(L)を緯度(ϕ)・経度(λ)に変換する 8次多項式の係数</p> $\phi = a_0L^4P^4 + a_1L^3P^4 + a_2L^2P^4 + a_3LP^4 + a_4P^4 + a_5L^4P^3 + a_6L^3P^3 + a_7L^2P^3 + a_8LP^3 + a_9P^3 + a_{10}L^4P^2 + a_{11}L^3P^2 + a_{12}L^2P^2 + a_{13}LP^2 + a_{14}P^2 + a_{15}L^4P + a_{16}L^3P + a_{17}L^2P + a_{18}LP + a_{19}P + a_{20}L^4 + a_{21}L^3 + a_{22}L^2 + a_{23}L + a_{24}$ $\lambda = b_0L^4P^4 + b_1L^3P^4 + b_2L^2P^4 + b_3LP^4 + b_4P^4 + b_5L^4P^3 + b_6L^3P^3 + b_7L^2P^3 + b_8LP^3 + b_9P^3 + b_{10}L^4P^2 + b_{11}L^3P^2 + b_{12}L^2P^2 + b_{13}LP^2 + b_{14}P^2 + b_{15}L^4P + b_{16}L^3P + b_{17}L^2P + b_{18}LP + b_{19}P + b_{20}L^4 + b_{21}L^3 + b_{22}L^2 + b_{23}L + b_{24}$ <p>($a_0, a_1, a_2, \dots, a_{24}$及び$b_0, b_1, b_2, \dots, b_{24}$の順に格納)</p>	<p>画像上のピクセル(p)・ ライン(l)に対して、 (p, l)を P=p-Po, L=l-Lo として、式に代入する。</p> <p>この式で、左上画素 の中心を (p, l)=(0, 0) とする。また、(ϕ, λ)の 単位は(度)である。</p>
2025-2044	E20.10	原点ピクセル(po)	
2045-2064	E20.10	原点ライン(lo)	

設備関連データレコード11 (6 / 6)

パイントNo.	タイプ	内 容 (定義及び具体的な数値)	備 考
2065-3064	50E20.10	<p>緯度(Φ)・経度(Λ)をピクセル(p)・ライン(l)に変換する 8次多項式の係数</p> $ \begin{aligned} p = & c_0\Lambda^4\Phi^4 + c_1\Lambda^3\Phi^4 + c_2\Lambda^2\Phi^4 + c_3\Lambda\Phi^4 + c_4\Phi^4 \\ & + c_5\Lambda^4\Phi^3 + c_6\Lambda^3\Phi^3 + c_7\Lambda^2\Phi^3 + c_8\Lambda\Phi^3 + c_9\Phi^3 \\ & + c_{10}\Lambda^4\Phi^2 + c_{11}\Lambda^3\Phi^2 + c_{12}\Lambda^2\Phi^2 + c_{13}\Lambda\Phi^2 + c_{14}\Phi^2 \\ & + c_{15}\Lambda^4\Phi + c_{16}\Lambda^3\Phi + c_{17}\Lambda^2\Phi + c_{18}\Lambda\Phi + c_{19}\Phi \\ & + c_{20}\Lambda^4 + c_{21}\Lambda^3 + c_{22}\Lambda^2 + c_{23}\Lambda + c_{24} \end{aligned} $ <p> $l = d_0\Lambda^4\Phi^4 + d_1\Lambda^3\Phi^4 + d_2\Lambda^2\Phi^4 + d_3\Lambda\Phi^4 + d_4\Phi^4$ $+ d_5\Lambda^4\Phi^3 + d_6\Lambda^3\Phi^3 + d_7\Lambda^2\Phi^3 + d_8\Lambda\Phi^3 + d_9\Phi^3$ $+ d_{10}\Lambda^4\Phi^2 + d_{11}\Lambda^3\Phi^2 + d_{12}\Lambda^2\Phi^2 + d_{13}\Lambda\Phi^2 + d_{14}\Phi^2$ $+ d_{15}\Lambda^4\Phi + d_{16}\Lambda^3\Phi + d_{17}\Lambda^2\Phi + d_{18}\Lambda\Phi + d_{19}\Phi$ $+ d_{20}\Lambda^4 + d_{21}\Lambda^3 + d_{22}\Lambda^2 + d_{23}\Lambda + d_{24}$ $(c_0, c_1, c_2, \dots, c_{24} び d_0, d_1, d_2, \dots, d_{24})$の順に格納) </p>	<p>画像上の緯度(ϕ)・経度(λ)に対して、(Φ, Λ)を $\Phi = \phi - \Phi_0$ (度) $\Lambda = \lambda - \Lambda_0$ (度) として、式に代入する。</p> <p>この式で、左上画素の中心を $(p, l) = (0, 0)$とする。</p>
3065-3084	E20.10	原点緯度(Φ_0) [度]	
3085-3104	E20.10	原点経度(Λ_0) [度]	
3105-5000	CH	ブランク	J

3-84

M.S. リモセン標準化部会

◆

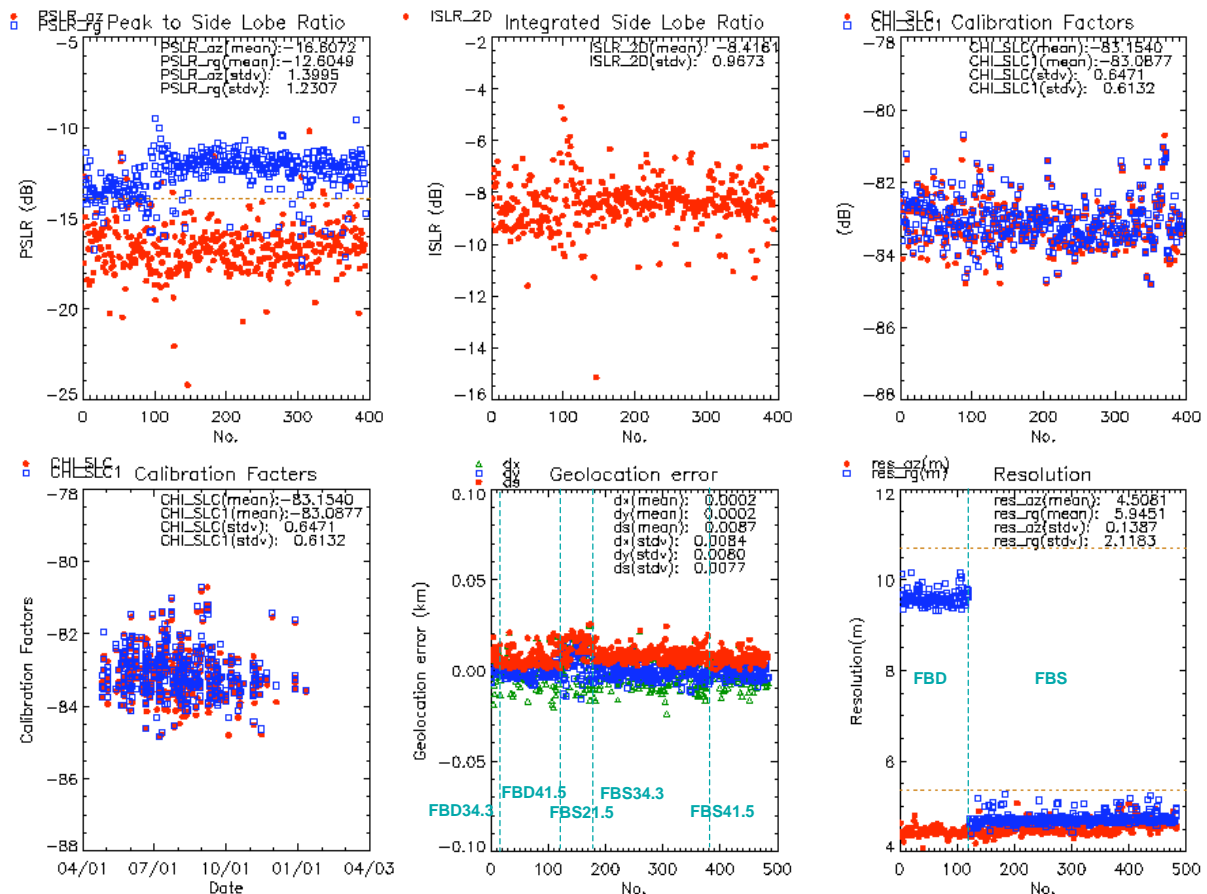
PALSAR Calibration



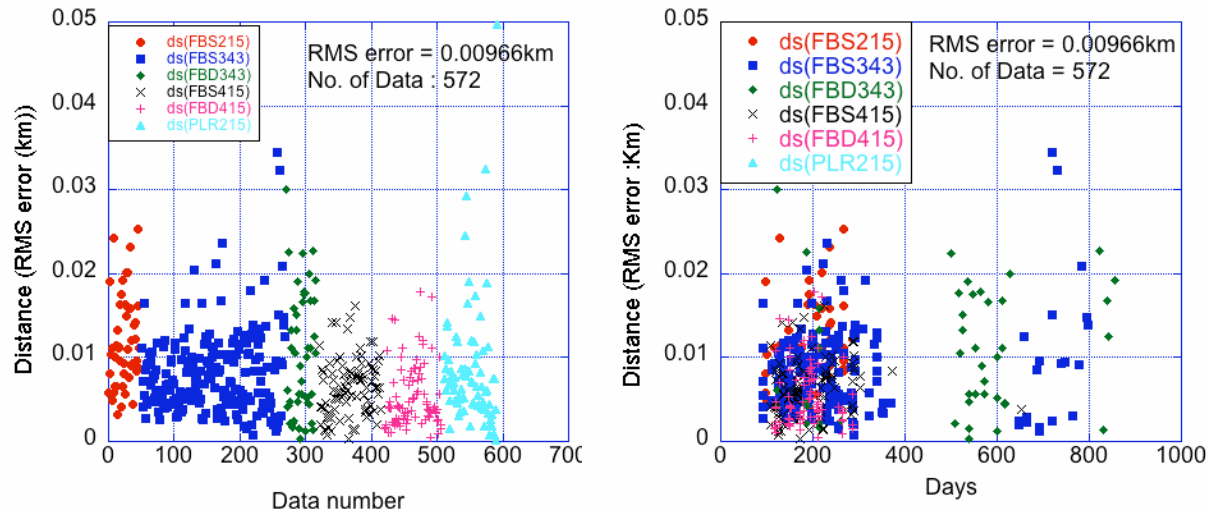
M.S. リモセン標準化部会

33

FBS/FBD Evaluation Results



Geometric calibration using the CRs Mode and time dependency over last three years



M.S. リモセン標準化部会

35

Summary of the PALSAR CALVAL results

Table 6 PALSAR Calibration Accuracy^{a)}

Items ^{a)}	Measured values ^{a)}	No. of Data ^{a)}	Specification ^{a)}
geometric accuracy ^{a)}	9.7m(RMS): STRIP mode ^{a)}	572 ^{a)}	100m ^{a)}
	70m(RMS): SCANSAR ^{a)}		
radiometric accuracy ^{a)}	0.219 dB(1 sigma) from Amazon forest ^{a)} 0.76 dB (1 sigma) from CRs ^{a)} 0.17 dB (1 sigma: Sweden CRs) ^{a)} -34 dB (Noise equivalent Sigma-zero for HV) ^{a)} -32 dB (as a minimum of FBD-HH) ^{a)} -29 dB (as a minimum of FBS-HH) ^{a)}	572 ^{a)} 16 ^{a)}	1.5 dB ^{a)} 1.5 dB ^{a)} 1.5 dB ^{a)} -23 dB ^{a)}
Polarimetric calibration ^{a)}	VV/HH ratio ^{a)} VV/HH phase diff. ^{a)} Crosstalk ^{a)}	81 ^{a)}	0.2 dB ^{a)} 5 deg. ^{a)} -30 dB ^{a)}
resolution ^{a)}	azimuth ^{a)} range (14MHz) ^{a)} range (28MHz) ^{a)}	572 ^{a)}	4.5m ^{a)} 10.7m ^{a)} 5.4m ^{a)}
Side lobe ^{a)}	PSLR in azimuth ^{a)} PSLR in range ^{a)} ISLR ^{a)}	572 ^{a)}	-10dB ^{a)} -10dB ^{a)} -8dB ^{a)}
Ambiguity ^{a)}	Azimuth ^{a)} Range ^{a)}	not appeared ^{a)}	16dB ^{a)} 16 dB ^{a)}
Transmission power ^{a)}	Sum of 80 TRM ^{a)}	2220W ^{a)}	2000W ^{a)}

Note: A (B)* represents an average value of A and a standard deviation of (B). PSLR is Peak-to-Side-Lobe Ratio.
ISLR is Integrated Side-Lobe Ratio.^{a)}

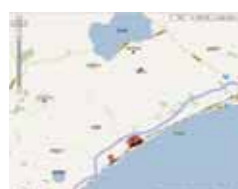
M.S. リモセン標準化部会

36

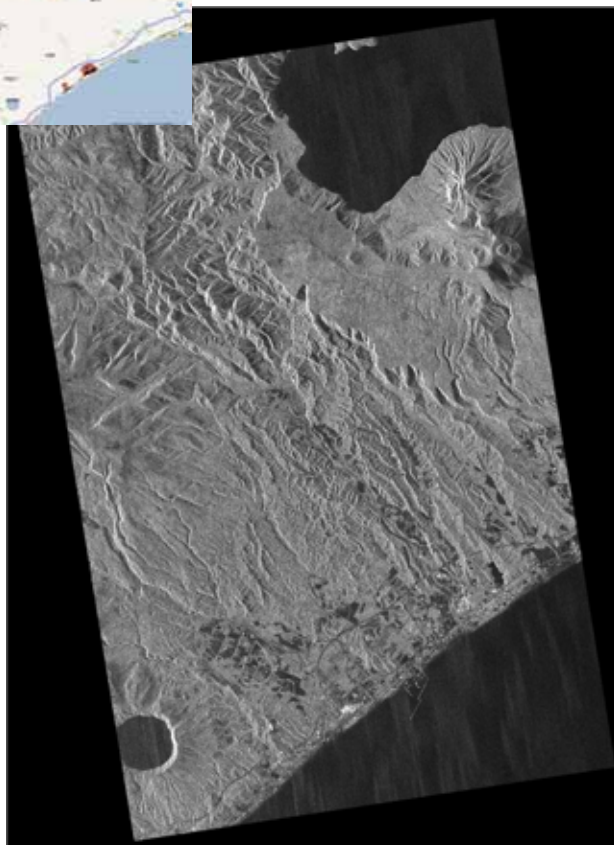
オルソ変換

M.S. リモセン標準化部会

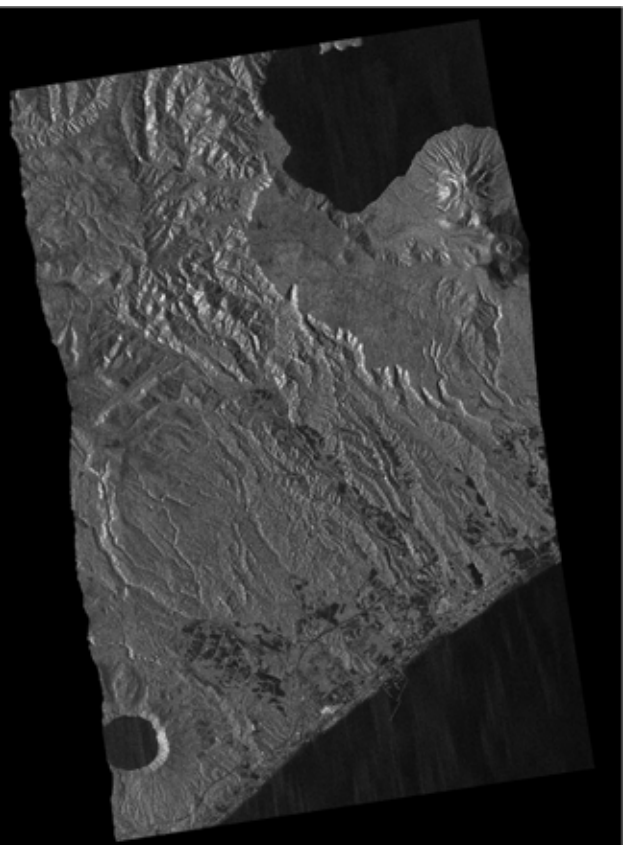
37



北海道白老町



ジオコード



オルソ

M.S. リモセン標準化部会

38

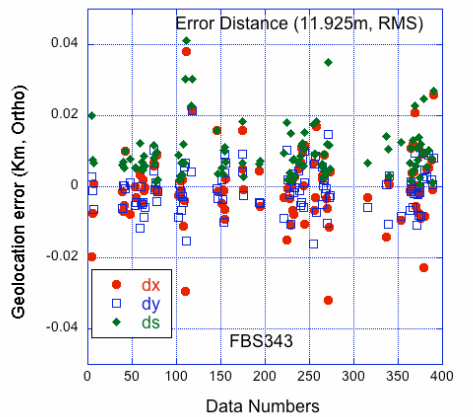
Ortho Rectification and slope correction

Purpose:

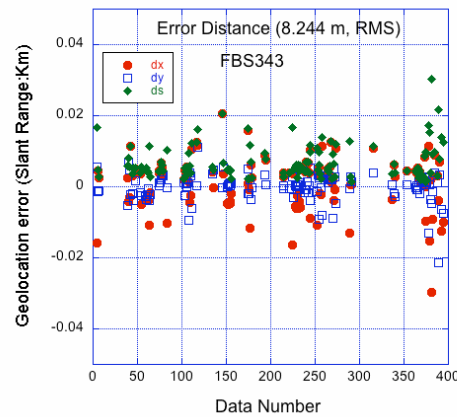
- 1) correct the foreshortening and azimuth shift to co-register with the map information
- 2) Additional slope correction reduces the area dependence of the scattering coefficient mainly.

Geo error (ortho) >

Geo error (slant)



I.S.



39

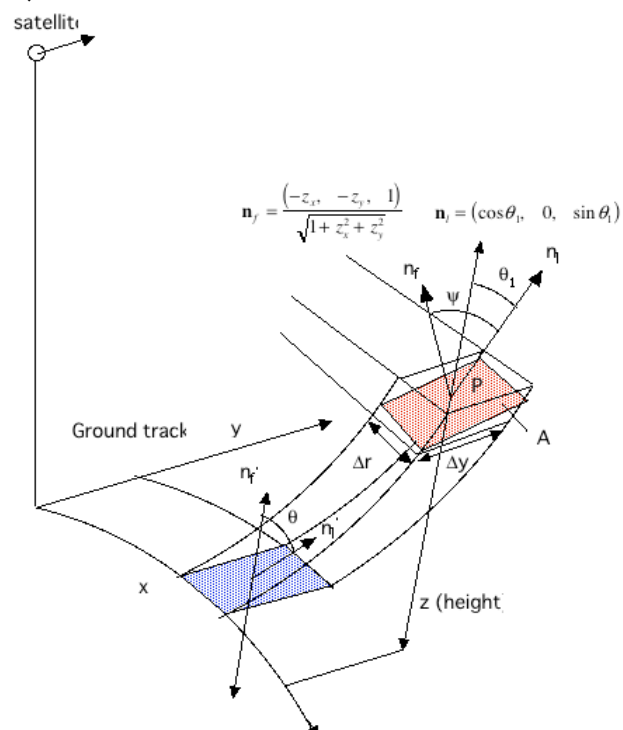
Slope correction(勾配補正)

$$\sigma^0 = \tilde{\sigma}^0 \frac{\sin \theta}{\cos \psi}$$

$$\theta_l = \cos^{-1} \left\{ \frac{(\mathbf{r}_s - \mathbf{r}_p) \cdot \mathbf{n}_l}{|\mathbf{r}_s - \mathbf{r}_p|} \right\}$$

$$\mathbf{n}_l = \frac{1}{\sqrt{h_x^2 + h_y^2 + 1}} \begin{pmatrix} h_x & h_y & 1 \end{pmatrix}^t$$

$$\cos \psi = \mathbf{n}_f \cdot \mathbf{n}_l = \frac{\sin \theta_l - \cos \theta_l \cdot h_x}{\sqrt{h_x^2 + h_y^2 + 1}}$$



M.

Correction of the local incidence dependence

41

$$\gamma^0 \equiv \frac{\sigma^0}{\cos \theta} \cdot SCF$$

$$SCF = IACF \cdot LICF$$

$$IACF \equiv \frac{\cos \psi}{\sin \theta}$$

41

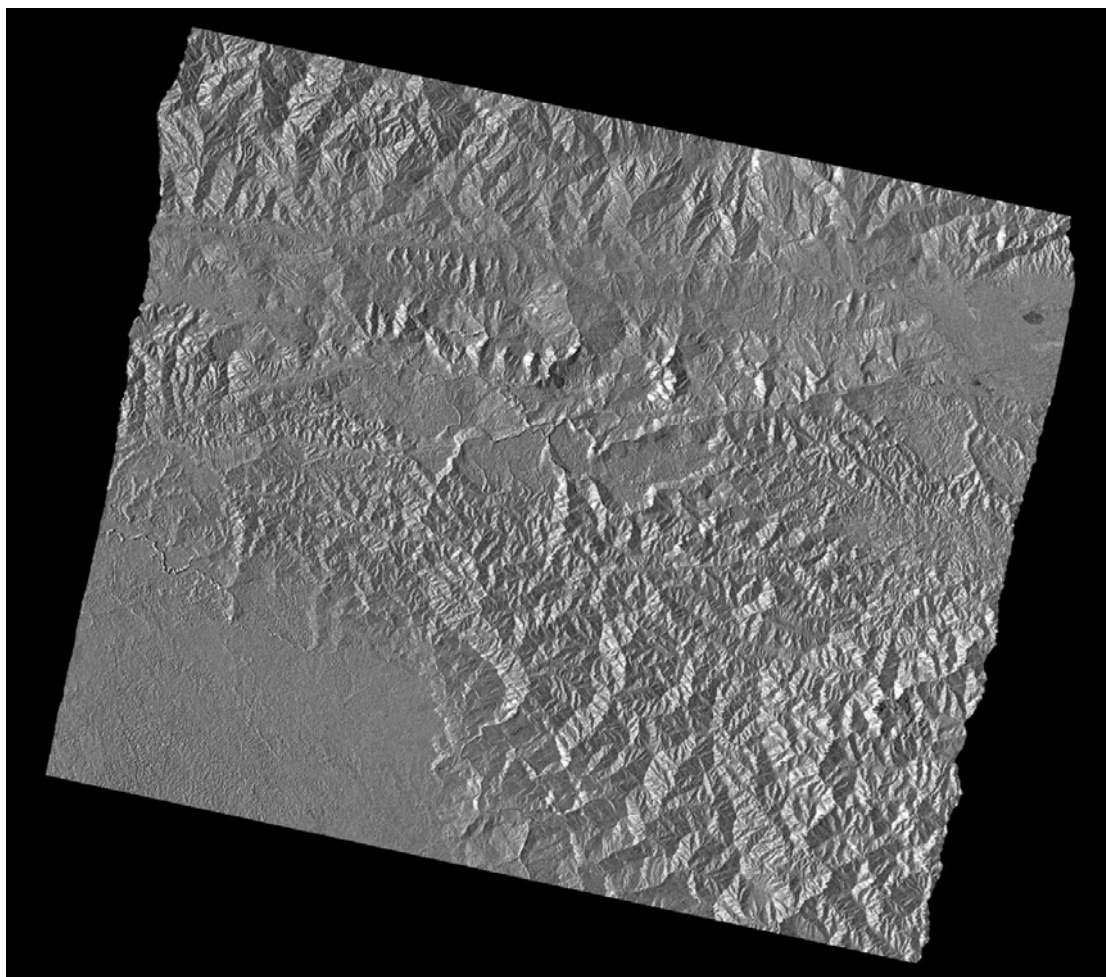
IACF: Illumination area correction factor

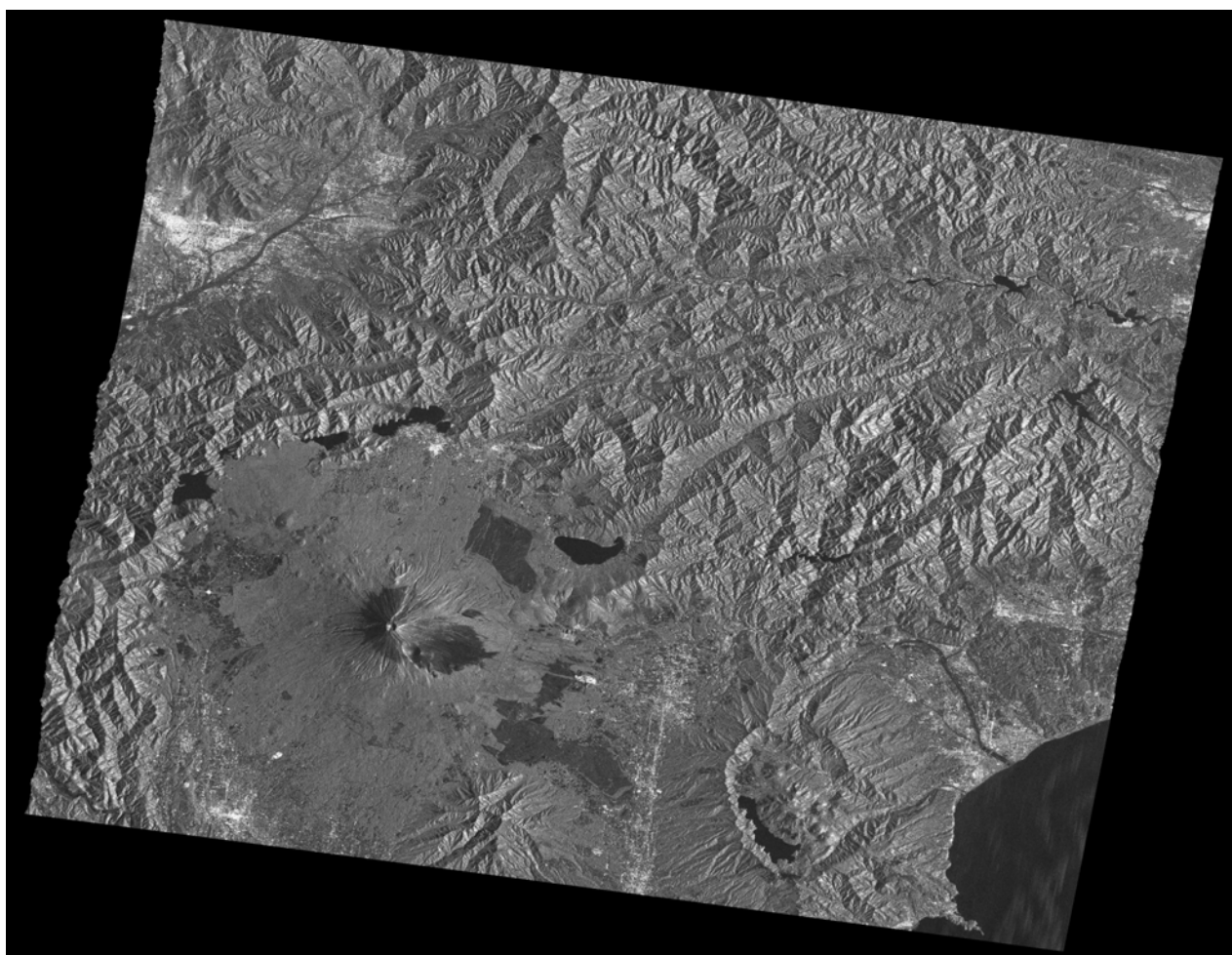
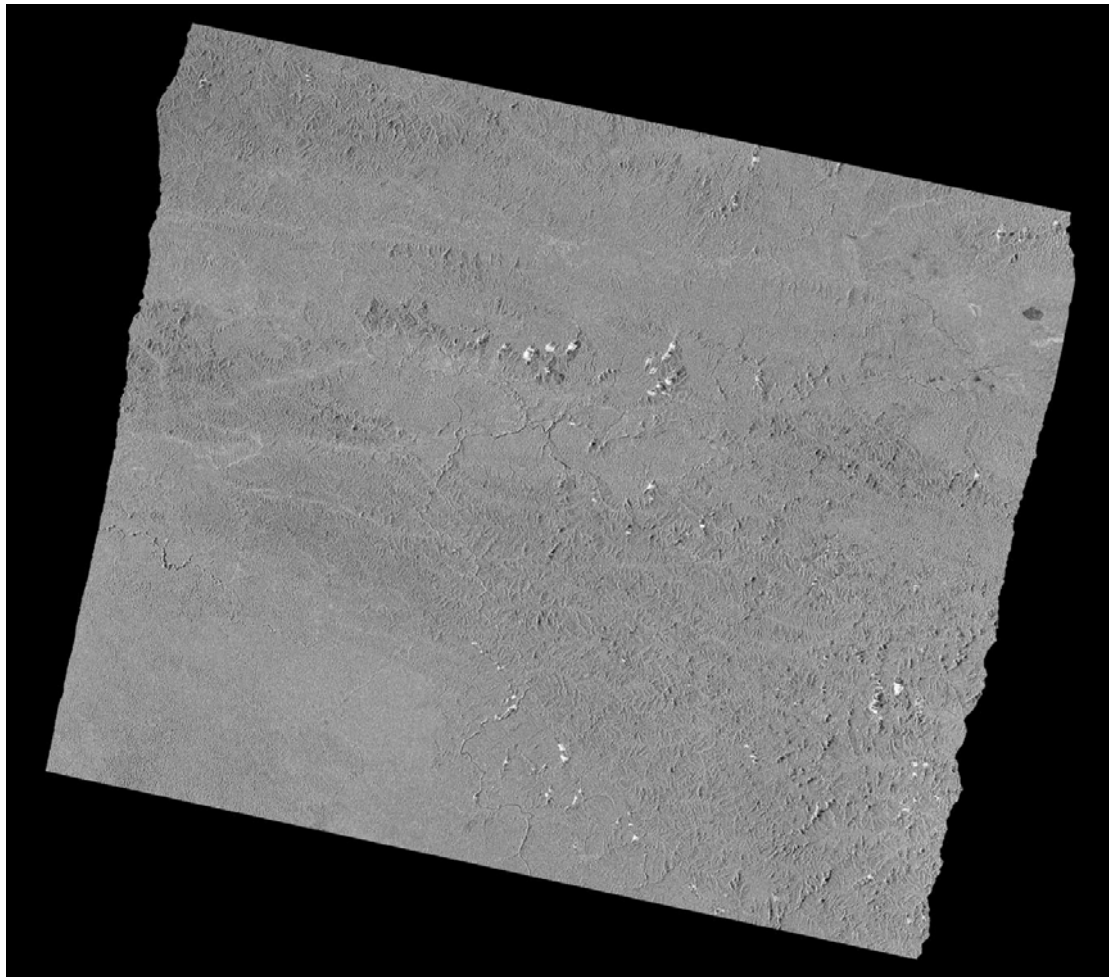
LICF:Local Incidence angle Factor

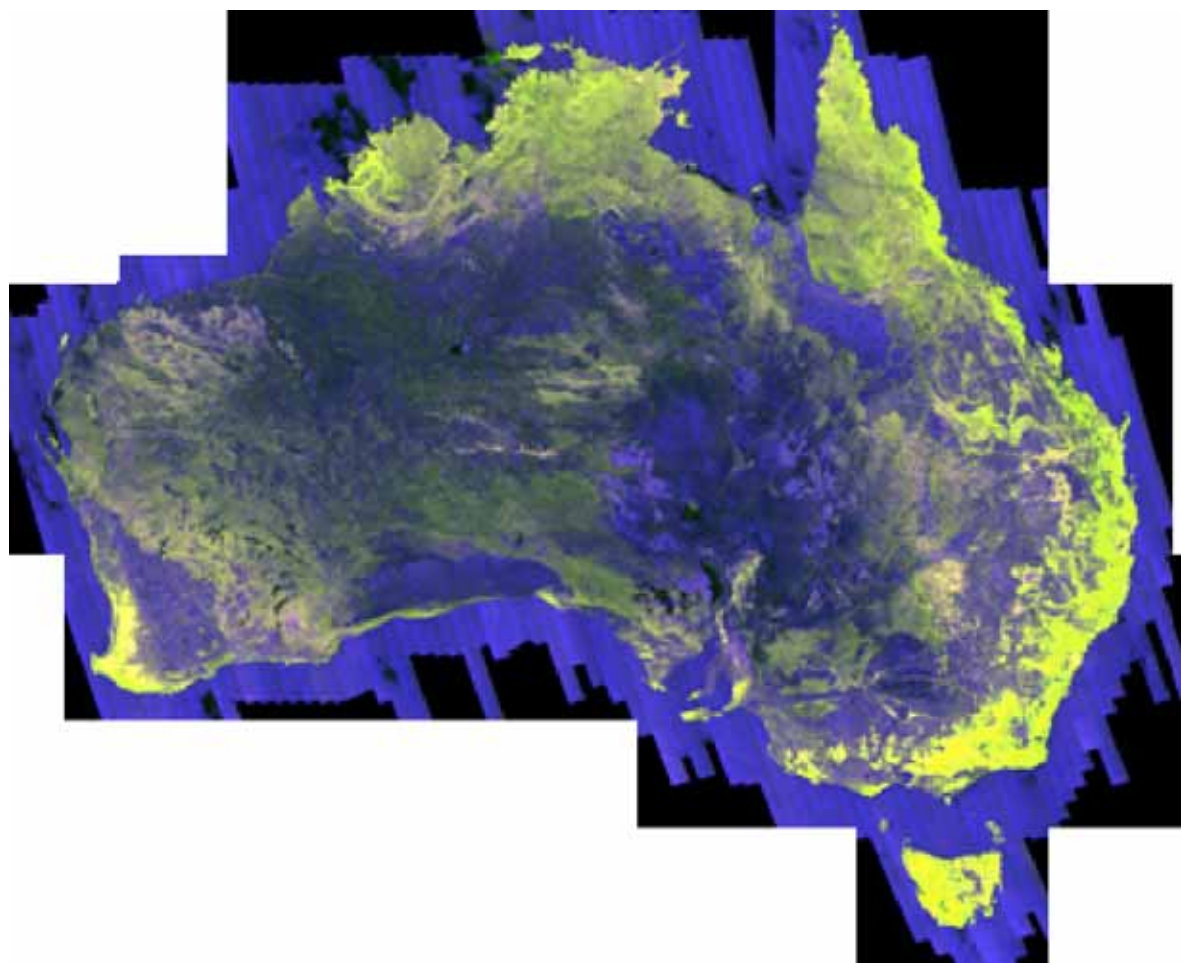
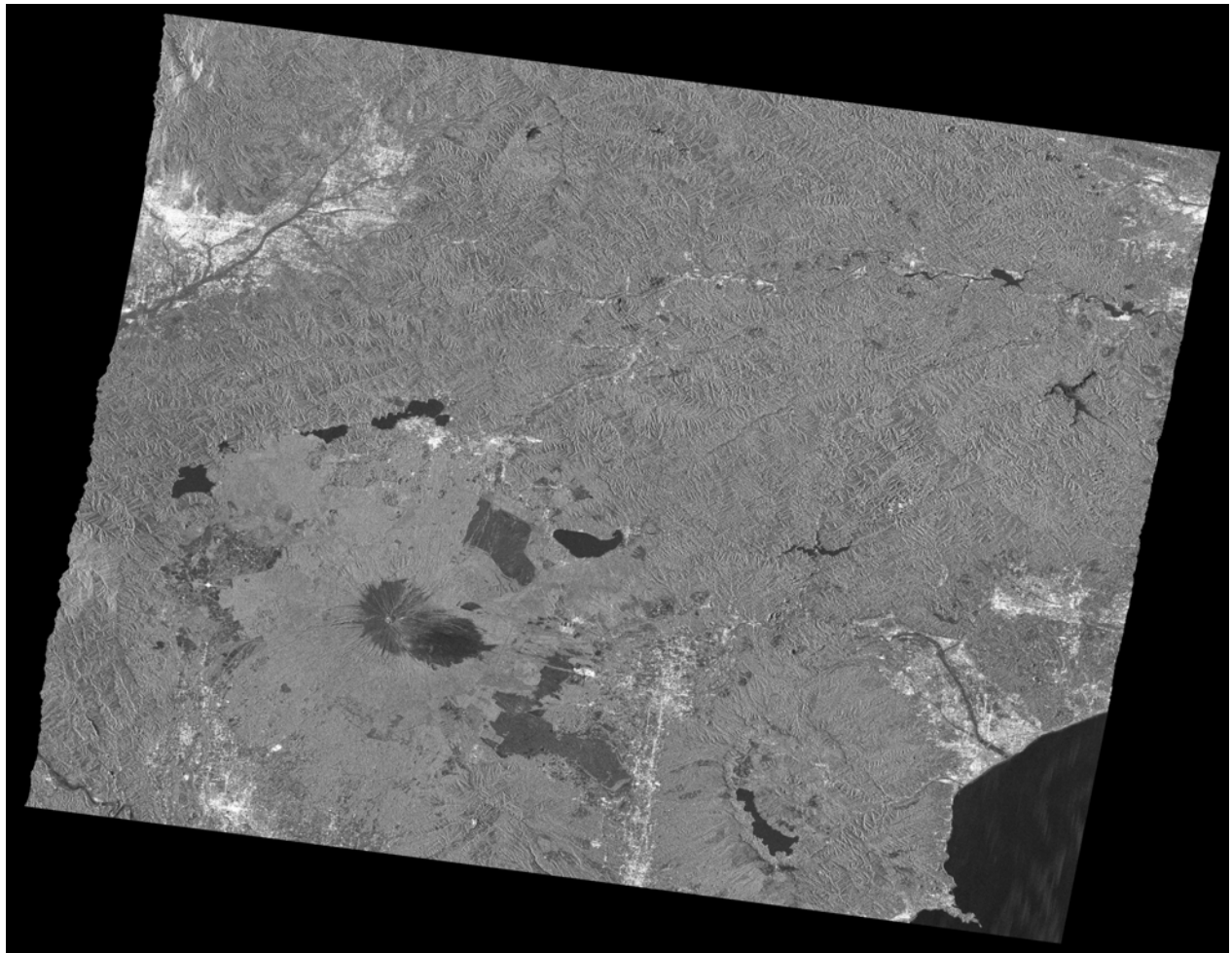
M.S. リモセン標準化部会

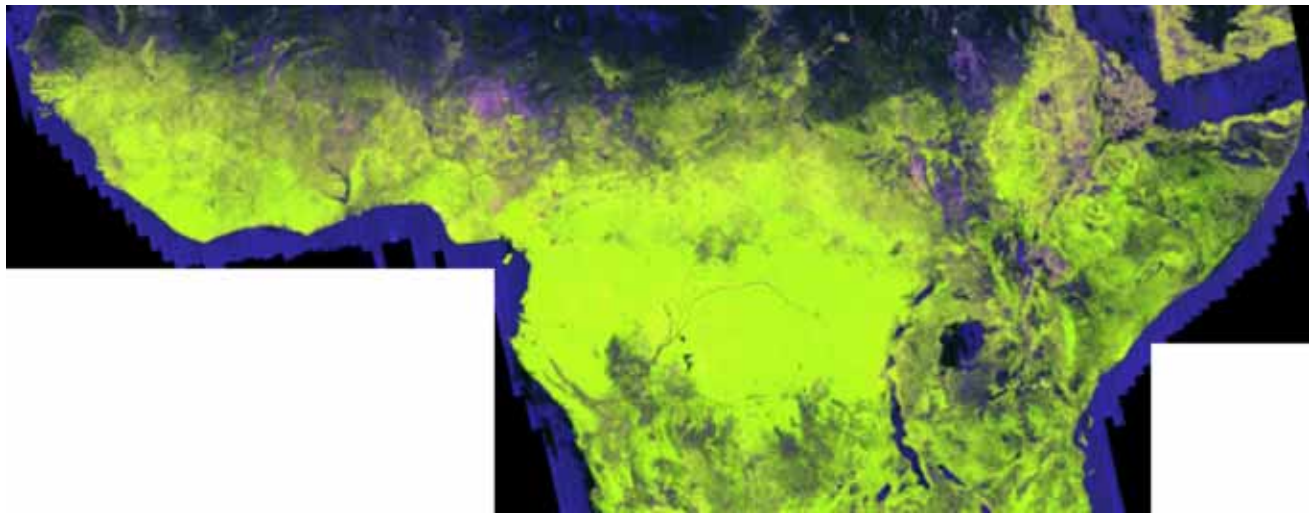
$$\sigma^0 \sim 10^{d\theta_l}$$

41









まとめ

PALSARの幾何学情報抽出についての整理

オルソ変換方法の整理

勾配補正方法の整理

オルソ補正方法の評価

全球成果物の作成